



Incrocio Dalmasso XI/6

Carlomagno A., Ferrandino A., Ruffa P., Raimondi S., Novello V. (2014) – Incrocio Dalmasso XI/6. In: Italian Vitis Database, www.vitisdb.it, ISSN 2282-006X

release 13/07/2015, ultimo aggiorn. 13/07/2015 url <http://vitisdb.it/varieties/show/1205>

Informazioni generali gestite da

Dipartimento di Scienze Agrarie, Forestali e Alimentari - Università degli Studi di Torino

Ringraziamenti

Ager-IVD; Azienda Didattico – Sperimentale 'Tetti Grondana', Chieri (TO)

Informazioni botaniche

nome Incrocio Dalmasso XI/6
tipo di origine incrocio intraspecifico
specie Vitis vinifera
gruppo di varietà Neutre

genere Vitis
sottospecie sativa
vitigno da tavola
breeder Giovanni Dalmasso
istituzione ibridatore Università di Torino
anno di incrocio 1938
anno di selezione non disponibile

trueness to type accertato con rilievi morfologici e microsatelliti
codice IVD-var_295

True-name

confermato **si**

Registrazione

iscritto al Registro Nazionale delle Varietà di Viti no

Sinonimi

nessun sinonimo disponibile per Incrocio Dalmasso XI/6

Accessione principale

accessione principale Incrocio Dalmasso XI/6
componente che l'ha inserita Dipartimento di Scienze Agrarie, Forestali e Alimentari - Università degli Studi di Torino

Accessioni standardizzate (1)

- Incrocio Dalmasso XI/6 - Dipartimento di Scienze Agrarie, Forestali e Alimentari - Università degli Studi di Torino

Tutte le accessioni (1)

- Incrocio Dalmasso XI/6 - Dipartimento di Scienze Agrarie, Forestali e Alimentari - Università degli Studi di Torino

Cloni omologati

Nessun clone disponibile per

Profilo microsatellite standardizzato

| loci: | loci predefiniti (9) | | | | | | | | | | | | | | | | | |
|-------------|------------------------|-----|-------|-----|-------|-----|--------|-----|---------|-----|---------|-----|--------|-----|--------|-----|--------|-----|
| locus SSR: | VVS2 | | VVMD5 | | VVMD7 | | VVMD27 | | VrZAG62 | | VrZAG79 | | VVMD25 | | VVMD28 | | VVMD32 | |
| allele: | A1 | A2 | A1 | A2 | A1 | A2 | A1 | A2 | A1 | A2 | A1 | A2 | A1 | A2 | A1 | A2 | A1 | A2 |
| dimensione: | 133 | 149 | 225 | 231 | 249 | 249 | 179 | 185 | 186 | 188 | 251 | 255 | 250 | 250 | 239 | 261 | 259 | 273 |

Immagini



germoglio



foglia



foggia pagina superiore


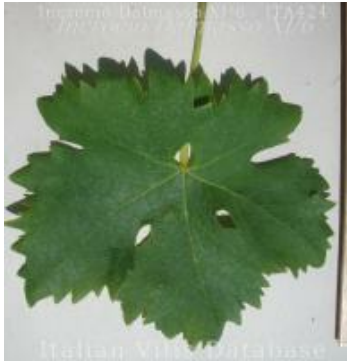



foggia pagina inferiore



grappolo

Ampelografia

| OIV | descrizione | valore | | immagini |
|-------|--|-------------|--|---|
| | | | | |
| 004 | Giovane germoglio: densità dei peli striscianti dell'apice | 3 | bassa |  |
| 007 | Germoglio: colore del lato dorsale degli internodi | 1 | verde | |
| 008 | Germoglio: colore del lato ventrale degli internodi | 1 | verde | |
| 016 | Germoglio: numero di viticci consecutivi | 1 | 2 o meno | |
| 051 | Foglia giovane: colore della pagina superiore del lembo (4 a foglia) | 1 / 3 | verde / bronzato |  |
| 053 | Foglia giovane: densità peli striscianti tra le nervature principali della pagina inferiore (4a foglia) | 3 | bassa | |
| 067 | Foglia adulta: forma del lembo | 4 | orbicolare | |
| 068 | Foglia adulta: numero dei lobi | 3 | cinque | |
| 070 | Foglia adulta: distribuzione pigmentazione antocianica nervature principali pagina superiore | 1 / 2 | assente / solo al punto peziolare | |
| 075 | Foglia adulta: bollosità della pagina superiore del lembo | 1 | nulla o molto bassa | |
| 076 | Foglia adulta: forma dei denti | 5 / 3 (Ø 2) | misto tra entrambi i lati rettilinei (livello 2) e entrambi i lati convessi (livello 3) / entrambi i lati convessi | |
| 079 | Foglia adulta: grado di apertura / sovrapposizione dei bordi del seno peziolare | 3 / 7 | aperto / sovrapposto | |
| 080 | Foglia adulta: forma della base del seno peziolare | 2 | a parentesi graffa ({}) | |
| 081-1 | Foglia adulta: denti del seno peziolare | 1 | assenti | |
| 081-2 | Foglia adulta: base del seno peziolare delimitata dalla nervatura | 1 | non delimitata | |
| 083-2 | Foglia adulta: denti nei seni laterali superiori | 1 | assenti | |
| 084 | Foglia adulta: densità dei peli striscianti tra le nervature principali sulla pagina inferiore del lembo | 7 / 3 | elevata / bassa | |
| 087 | Foglia adulta: densità dei peli eretti sulle nervature principali della pagina inferiore del lembo | 1 | nulla o molto bassa | |
| 151 | Fiore: organi sessuali | 3 | stami completamente sviluppati e gineceo completamente sviluppato |  |
| 155 | Tralcio: fertilità delle gemme basali (gemme 1-3) | 1 | molto bassa (<0,5) | |
| 202 | Grappolo: lunghezza (escluso il peduncolo) | 7 / 5 | lungo / medio | |
| 204 | Grappolo: compattezza | 5 | medio | |
| 208 | Grappolo: forma | 3 | a imbuto | |
| 220 | Acino: lunghezza | 5 / 7 | medio / lungo | |
| 221 | Acino: larghezza | 5 | medio | |
| 223 | Acino: forma | 7 | ovoidale | |
| 225 | Acino: colore della buccia | 1 | verde giallo | |
| 236 | Acino: particolarità dell'aroma | 1 | nessuna | |
| 241 | Acino: sviluppo dei vinaccioli | 3 | completo | |

Note ampelografiche

La varietà è caratterizzata dalla presenza di viticci trifidi. La forma del lembo fogliare può essere orbicolare oppure orbicolare tendente al pentagonale. Il profilo del lembo appare piano con margini contorti o revoluti. Il seno peziolare può essere a parentesi graffa oppure a V+U.

Ampelometria

OIV

nessun descrittore presente per Incrocio Dalmasso XI/6

Superampelo

| distanze | | |
|---|---------|---------------------|
| descrittore | valore | deviazione standard |
| Distanza tra estremità di N2 e estremità della prima ramificazione laterale di N2 | 27.060 | 6.094 |
| Distanza tra estremità di N2' e estremità della prima ramificazione laterale di N2' | 31.630 | 10.231 |
| Distanza dal seno peziolare al seno inferiore destro | 18.150 | 4.307 |
| Distanza dal seno peziolare al seno inferiore sinistro | 19.360 | 4.594 |
| Distanza dal seno peziolare al seno superiore destro | 16.150 | 2.221 |
| Distanza dal seno peziolare al seno superiore sinistro | 16.430 | 3.431 |
| Nervatura N3, lunghezza dal seno peziolare alla nervatura N4 | 5.740 | 1.198 |
| Nervatura N3', lunghezza dal seno peziolare alla nervatura N4' | 5.680 | 1.262 |
| Lunghezza della nervatura N5 | 8.910 | 1.775 |
| Lunghezza della nervatura N5' | 9.720 | 1.800 |
| Lunghezza della nervatura N4 | 21.650 | 3.074 |
| Lunghezza della nervatura N4' | 22.870 | 4.231 |
| Larghezza della foglia | 84.860 | 11.732 |
| Lunghezza della foglia | 83.540 | 8.797 |
| Lunghezza del picciolo | 47.870 | 8.428 |
| Lunghezza della foglia compreso il picciolo | 105.340 | 13.305 |
| Distanza tra gli estremi delle nervature N2 e N2' | 83.690 | 11.821 |
| Lunghezza della nervatura N1 | 57.470 | 5.744 |
| Distanza tra gli estremi delle nervature N4 e N4' | 20.760 | 3.865 |
| Distanza tra gli estremi delle nervature N3 e N3' | 69.870 | 7.807 |
| Lunghezza della nervatura N2 | 51.500 | 5.900 |
| Larghezza del seno peziolare / Distanza tra i punti SP e SP' | -4.740 | 2.312 |
| Lunghezza della nervatura N3 | 36.300 | 4.789 |
| Lunghezza della nervatura N2' | 52.730 | 6.420 |
| Lunghezza della nervatura N3' | 38.900 | 5.551 |

| angoli | | |
|--|---------|---------------------|
| descrittore | valore | deviazione standard |
| Angolo tra N1 e N2 misurato alla prima biforcazione | 61.720 | 7.432 |
| Angolo tra N2 e N3 misurato alla prima biforcazione | 53.260 | 3.560 |
| Angolo tra N1 e N2' misurato alla prima biforcazione | 62.700 | 6.997 |
| Angolo tra N3 e N4 alla prima biforcazione di N3 | 59.000 | 7.478 |
| Angolo tra N2' e N3' misurato alla prima biforcazione | 54.260 | 5.058 |
| Angolo tra N1 e N2 misurato agli estremi delle nervature | 51.590 | 7.544 |
| Angolo tra N3' e N4' | 59.590 | 7.790 |
| Angolo tra N2 e N3 misurato agli estremi delle nervature | 58.290 | 3.592 |
| Angolo tra N1 e N2' misurato agli estremi delle nervature | 56.420 | 12.428 |
| Angolo tra N3 e N4 misurato agli estremi delle nervature | 45.470 | 5.953 |
| Angolo tra N2' e N3' misurato agli estremi delle nervature | 53.470 | 8.401 |
| Angolo di apertura del seno peziolare misurato a SP e SP' | 28.870 | 20.662 |
| Angolo tra N3' e N4' misurato agli estremi delle nervature | 47.460 | 6.010 |
| Angolo tra S e S' con centro in N1 | 24.870 | 6.782 |
| Angolo tra D e D' con centro in N1 | 105.340 | 12.185 |
| Angolo tra I e I' con centro in N1 | 34.430 | 7.803 |

| rapporti | | |
|--|--------|---------------------|
| descrittore | valore | deviazione standard |
| Media della base dei denti del lato sinistro | 4.691 | 0.787 |
| Media della base dei denti del lato destro | 4.750 | 0.848 |
| Media dell'altezza dei denti del lato sinistro | 3.193 | 0.586 |
| Rapporto tra l'altezza e la base del dente all'estremità della nervatura N4' | 0.925 | 0.144 |
| Media dell'altezza dei denti del lato destro | 2.954 | 0.794 |
| Rapporto tra Lunghezza e larghezza della foglia | 0.991 | 0.078 |
| Rapporto tra la somma degli angoli a' + b' e la somma della distanza tra il seno peziolare e il seno superiore sinistro OS' e il seno peziolare e il seno inferiore sinistro OI' | 0.059 | 0.015 |
| Rapporto tra la somma degli angoli a + b e la somma della distanza tra il seno peziolare e il seno superiore destro OS e il seno peziolare e il seno inferiore destro OI | 0.060 | 0.010 |
| Rapporto tra l'altezza e la base dei denti del lato sinistro | 0.680 | 0.037 |
| Rapporto tra l'altezza e la base dei denti del lato destro | 0.615 | 0.125 |
| Rapporto tra l'altezza e la base del dente all'estremità della nervatura N2' | 0.996 | 0.254 |
| Rapporto tra l'altezza e la base del dente all'estremità della nervatura N2 | 1.119 | 0.368 |
| Rapporto tra l'altezza e la base del dente all'estremità della nervatura N4 | 0.897 | 0.154 |